

固鉄 正直○吉野伸一
 " " 石橋忠良
 東北大學 " 館木基行

1. まえがき

現在、鉄筋コンクリート脚柱などの耐震設計は主として震度法によって行われているが、地震時には想定した以上の高応力が部材に作用する可能性があり、1978年6月の宮城県沖地震においてコンクリートの圧壊や鉄筋の座屈を伴う破壊を生じた脚柱の例があつた。耐震性に優れ、じん性を高い柱脚柱の設計法、效果的には補強方法について検討する必要がある。この種の研究はすでに数多く発表されているが、本研究はせん断スパン比を一定($\alpha_s = 4.0$)とし、軸力、軸鉄筋比およびせん断補強鉄筋比を変化させて供試体で、最適補強方法についての資料を得るために行なった水平繰返し載荷試験についての報告である。

2. 実験方法

2-1) 供試体

せん断スパン比を高架橋柱で一般的な $\alpha_s = 4.0$ で一定とし、軸力、軸鉄筋比、せん断補強鉄筋比を変化させて12体の供試体とした。

供試体の種類を表-1に、配筋図を図-1に示す。供試体に用いたコンクリートの配合は表-2に示すものである。

2-2) 載荷方法

供試体はフーニング部と2カ所径32mmのゲビンディングアーブで床フレームに固定した。載荷は図-2に示すように装置を用い、一定軸力のもとで水平繰返し載荷を行つた。水平荷重載荷は、軸方向鉄筋の降伏に基づく計算上の降伏荷重(P_y)までは荷重制御(軸方向鉄筋のひずみ)により行い、降伏以後は降伏変位(δ_y)の整数倍の変位2 δ_y 、3 δ_y …を半振幅と有効変位制御により終局状態に達するまで繰

表-1 供試体の種類

| 番号 せん 断 スパン 比 | 主鉄筋 径・本数 P_y (%) | せん 断 補 強 鉄 筋 P_u (%) | 軸力 | | | |
|---------------------------|--------------------------|--|-------|--------|------|----|
| | | | 柱-組 | 柱-40cm | | |
| 1 | D13-4 | 0.36 | D10-1 | 10 | 0.36 | 15 |
| 2 | D19-4 | 0.82 | " | " | " | " |
| 3 | D25-4 | 1.45 | " | " | " | " |
| 4 | D19-4 | 0.82 | D6-15 | 10 | 0.24 | " |
| 5 | " | " | D6-1 | 10 | 0.16 | " |
| 6 | " | " | D10-1 | 12.5 | 0.29 | " |
| 7 | " | " | D6-15 | 13.3 | 0.18 | 10 |
| 8 | " | " | D10-1 | 10 | 0.36 | 40 |
| 9 | " | " | " | " | " | 0 |
| 10 | D16-4 | 0.57 | D10-1 | 10 | 0.36 | 15 |
| 11 | " | " | D6-15 | 10 | 0.24 | " |
| 12 | " | " | D6-1 | 10 | 0.16 | " |

表-2 供試体コンクリート配合

| 設計基 準強度 (%cm) | セメント 量(g) | 粗骨材 の種類 | 最大寸 法(cm) | スラン グ量(cm) | セメント 量(%) | | | $/ m^3$ あたり(kg) |
|------------------------|--------------|------------|--------------|---------------|--------------|-----|-----|-----------------|
| | | | | | C | W | S | |
| 270 標準強度 270±20% | 25 | 25±2.5 | 4.5±1 | 49 | 347 | 170 | 755 | 1011 0.865 |

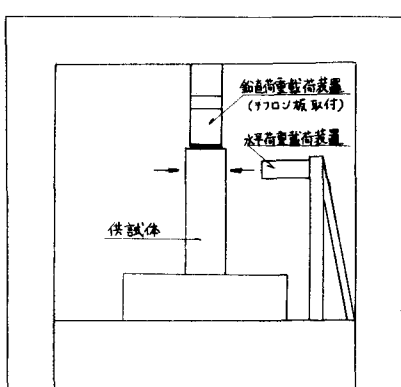


図-2 載荷装置

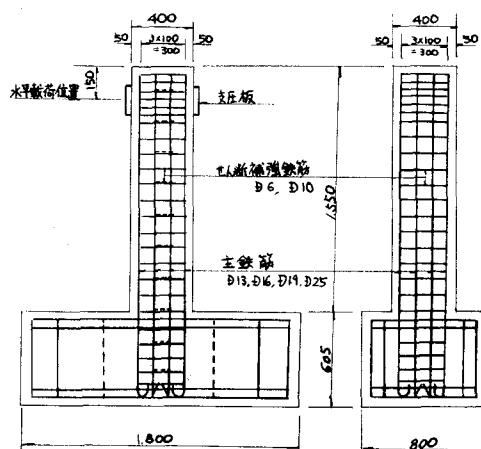


図-1 供試体配筋図

返し載荷を行った。1回、2回、3回……での繰返し回数はそれぞれ5回とした。

2-(3) 測定方法

供試体の変位は、固定部より水平荷重載荷点まで30cmピッチでダイヤルゲージにより測定した。又、固定部および固定部より30cmの位置で四隅の軸鉄筋のひずみを測定し、せん断補強筋は固定部より1mの範囲の3カ所で測定した。主鉄筋の抜け出し量について、4体の供試体でT-アンブの四隅の軸鉄筋のひずみを測定して検討することとした。

3、実験結果

荷重-変位曲線(ヒステリシス・ループ)の例を図-3に、その包絡線の一部を図-4に示す。ヒステリシス・ループの形状は、 $\alpha = 40$ と一定としているため各供試体ともほぼ紡錘形の形状を示している。各供試体3~4回の繰返し載荷ではほぼ安定した耐力を示したが、以降になると耐力が低下し終局状態に至った。最大荷重は当然のことであるが、軸力が大きいほど、および軸鉄筋量が多いほど大きい値を示している。図-3の回路線において、耐力が降伏耐力を越え最大値に達した後降伏耐力以下に低下する時点の最大変位を終局変位(δ_u)と定めし、降伏変位に対する倍率(γ_v)をじん性率としてもるとほぼ4~6の間にあり、顕著な差は見られないと軸力が小さいほど、せん断補強筋比が大きいほど、および最大荷重が小さいほど大きな値となる。

終局状態における柱側面のひびわれ状況の例を図-5に示す。降伏荷重以降水平およびX型にひびわれが発生進展し、せん断補強筋外側のコンクリートが脱落し、軸鉄筋は座屈してわん曲し破断したものもあつた。つまでも曲げ圧壊型の破壊形状を示している。なお、終局時平均せん断底力度は9~16%であった。

4、あとがき

今後、なお詳細な調査を行い、整理出来次第報告したいと考えている。本実験を行うにあたり種々御指導いたいた東北大学尾坂教授、同鉄仙台新幹線工事局の関係者の皆様にお礼申し上げます。

す。

参考文献：林元辰輔
「高力繰返し荷重を受けるT字クリート橋脚
の耐力に関する基礎的実験」第29.31.33回土木学会年次講演会

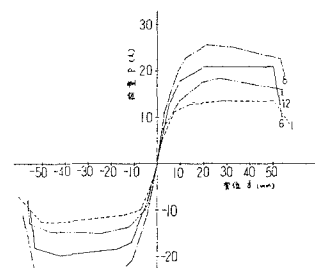


図-4 荷重-変位曲線の包絡線

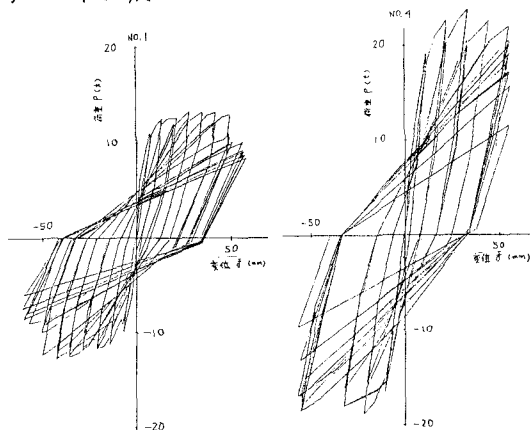


図-3 荷重-変位曲線

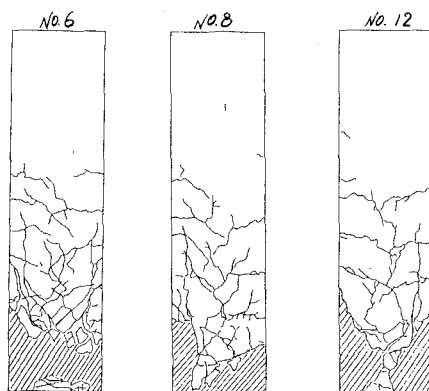


図-5 ひびわれ状況